

大阪府立工業高等専門学校 正員 平山秀夫
大阪府立工業高等専門学校 正員 福島博行

1. はじめに：著者の一人は、これまで、離岸堤の設置による堆砂の促進と堤の維持を最も効果的にする堤の諸元や先端部形状などの最適条件を系統的に明らかにするため、種々の実験的検討を試みてきたが、特に前報では、実験的傾斜海浜モデルによる堆砂過程と堤内地形変化の実態、汀線、堤内堆砂量及び堤の沈下量などの相互関係に着目して種々の検討を加えた。

本研究では、これに引き続いて、離岸堤モデルによる堆砂機構を実験的に明確化しとするもので、ここでは特に、(1)堤による堆砂過程を明らかにするため、堤内外の土砂の移動状況と、着色砂による可視化実験によって明らかにすると同時に、堤周辺の流況と中立粒子の挙動を通して把握したこと、(2)堤の沈下量あるいは不等沈下に起因する堤の傾斜角、堤内堆砂量あるいは汀線の変動に対する影響を実験的に明らかにしたこと、などに主眼を置いて種々の検討を加えたものである。

2. 実験装置及び方法：実験装置は前報¹⁾と全く同様に、長さ21m、幅0.7m、高さ1mの片面ガラス張り水槽を用いて行った。実験の方法は、まず、水平床工の水深を40cm一定とし、初期勾配を1/20の標準砂($d_{50}=0.2mm$)による移動床傾斜海浜モデル上に、入射波高 $H_0=8.5cm$ 、周期1.0secの波(以下、これをbar型の波と呼ぶ。)を作用させ、典型的な侵食型(bar型)の初期平衡勾配を形成させ、次に異形ブロック(テトラポッド)の整積段階による離岸堤モデル(堤幅 $B=40cm$ 、半堤長 $D=40cm$ 、高さ $h_t=26.5cm$)を、 $X_b \approx 0.5$ (X : 静水汀線からの冲向き距離、 X_b : 同じく碎波点までの距離)の位置に設置した。これにさらに付加的条件(沈下防止工、沈下促進工、開口部護岸防止工及び開口部付近浚渫法など)を施した場合とそうでない場合に分けて、再び初期平衡勾配時と同条件の波を5時間作用させた。(一部の実験については、これに引き続いて、 $H_0=4.5cm$ 、 $T=1.5sec$ の波(以下、これをstep型の波と呼ぶ。)を5時間、さらには $H_0=10cm$ 、 $T=1.0sec$ の波(以下、これをbar'型の波と呼ぶ。)を5時間作用させた。測定はそれぞれ $t=1/2, 1, 2, 3, 5$ 時間ごとで、汀線の変動量、塊沈下量及び水理特性を調べた。また、 $t=5$ hrにおける堤内外の侵食・堆積量を算出するため、堤設置時より基準にして、侵食・堆積高を砂面測定器を用いて求め、これらの等高線表示を行った(図-1参照)。

3. 解析方法：解析は、前報¹⁾と全く同様に、実験結果に基づいて作成された初期平衡勾配時からの等侵食堆積高線図(図-1)から、土量計算などによって、堤内總侵食量(Γ)、總堆積量(Π)、總堆砂量($Q=\Pi-\Gamma$)および静水汀線からの汀線の平均移動量(X_b)などの諸量を求めた。また、堤の凹陽角地帯での沈下量と平均沈下量(h_s)を、さらには、沖側と岸側、堤の沈下量、差と堤幅を除して堤の傾斜角($\tan\beta$)を推定した。着色砂・中立粒子を利用した実験においては、これらの移動状況を写真撮影や目視観測によつて推定した。なお、以下の図中の添字の5は、初期平衡勾配時から $t=5$ 時間後の諸量を示す。

4. 実験結果および考察：(1)着色砂による堤内外、底質の移動状況：(図-2)～(4)は、以下に述べる堤内外の各地帯に着色砂(青、赤、緑色)を別々に同時に設置した場合の、それらの移動拡散範囲を $t=1, 3, 5$ hrごとに分けて示したもので、(図中には、その移動量の大小を(↑)で区分して表わしている。各着色砂の移動状況の概要是、次のとおりである。なお、この図-2の最終地形は(図-1)に付記している。

(i) 開口部岸側の青色着色砂(図-1)：移動方向は、岸側へ前進するもの、開口部へ後退して行くもの及び直接堤脚部へ侵入していくもの、これらを合せて、移動量及び範囲とも、岸側へ向うもの最も顕著

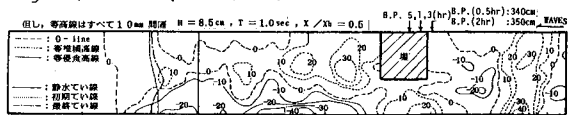


図-1 堤内地形変化の等侵食・堆積高線図による表示例。

著で、その大半が開口部からの回折波の波向に沿って前進し、また、量的には少ないが、汀線付近に及ぶものもある。一方、開口部へ後退するものは、途中で堤脚部へ侵入するものと、さらには沖側へ後退するものに分かれると、これらはほとんど堤脚及び開口部付近に停滞していたが、一部は堤後面に堆積するものもあった。

(ii) 開口部沖側の赤色着色砂(図の(2))：これも移動方向は、開口部を通じて岸側へ前進するもの、堤前面に回り込んで堤脚部へ侵入するもの及び沖側へ後退するものに分かれると。その移動範囲は、岸側に比べて沖側への拡がりが大きいが、量的には、岸側の方が多いようであった。開口部から岸側へ前進するものは、1部は開口部や堤脚部へ侵入するものもあるが、大部分は、前述(i)の青色着色砂の部分に土砂を供給しているようである。一方、沖側方向へ移動するものは、堤による部分重複波によく形成された sand bar の crest 附近に堆積し、時間経過とともに、横方向にも拡がって行った。堤脚部へ侵入するものは、(i)の場合と同様に停滞し、(一部は、堤後面に堆積するものもあつた)。

(iii) 堤前面の緑色着色砂(図の(3))：移動方向は、開口部へ回り込んで、岸側へ前進するもの、直接堤前面から堤脚部へ侵入するもの及び沖側へ後退するものに分かれると。拡散範囲は、(i)と同様に、沖側方向へ卓越していた。開口部へ回り込むものは、(i)と同様に、開口部や堤脚部へ侵入するものとそのまま岸方向へ移動して、前述の(i)の部分に堆積するものに分かれると。沖側へ後退するものは、(i)の場合と同様に拳動をして。

(iv) 堤沖側の緑色着色砂(図の(4))：これは、図(i)の裸洋砂が埋められたため、移動範囲・移動量とも比較的の少ないようであつたが、拡散範囲は、堤側と開口部側へ集中し、堤側は岸向きと、一方、開口部側では逆に沖向き範囲が広いようであった。

以上、着色砂の移動拡散状況から総合的に判断すれば、開口部岸側の土砂は、直接堤内に運ばれて堆積し、これを表す形で開口部あるいは堤前面付近から土砂の供給がある。結果、堤外の土砂は、開口部や堤を通じて、徐々に堤内に移動していくことより着色砂の実験で確認された。

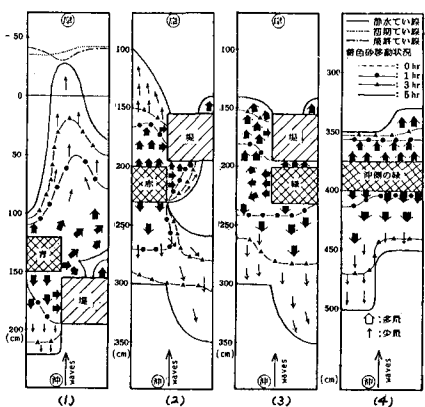
2) 中立粒子による堤周辺の流況：図-3は、堤周辺の中立粒子(粒径=4.5mm、比重3.10)の移動状況の実験結果で、step型及びbar型の波の作用下に分けて示したものである。两者とも堤を中心にして岸に向かって左回りに循環しているが、このことは現地でも観測されているようである。

3) 堤沈下量及び堤傾斜角と堤地形変化に及ぼす影響：図-4は単位面積あたりの堤内絶堆砂量と沈下量の関係を示したもので、前報¹⁾の場合と同様に沈下量の増大に伴って、逆に絶堆砂量は減少する事が明らかである。このことから、堤内堆砂量を増大させると、堤の沈下を防止する必要があることがわかる。一方、図-5は、汀線移動量とtanβとの関係を、地形変化の結果も含めて示したもので、この図から明らかなように、tanβの増大と共に、汀線は前進の傾向を示している。しかしながら、前述の堤内堆砂効果の促進の観点からは、沈下を防止した方が良いので、沈下対策は慎重に対応が必要である子²⁾と思われる。

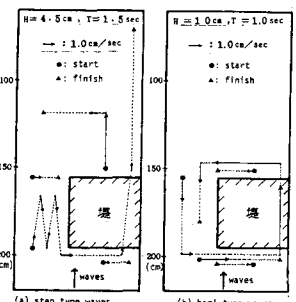
最後に、日頃、暖かい所指導を賜り、京都大学工学部岩垣准教授、実験や解説に協力して惜しまなかつた小林雅芳、浦上武、西尾、深基幸司謝意を表す。

¹⁾ 平山：通過式離岸堤の設置(2)堤地形変化に関する実験的研究、第38回年報、II-99、1983。

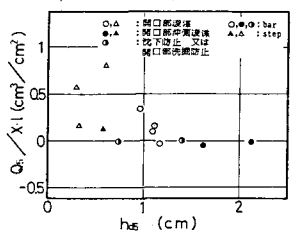
²⁾ 田中・鈴木・神田：離岸堤および岬周辺における海浪流の現地観測、第31回講論文集、pp.416~420、1984。



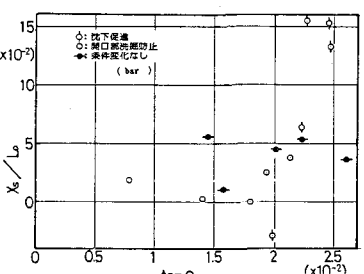
(図-2) 着色砂の移動状況。



(図-3) 中立粒子の移動状況。



(図-4) 絶堆砂量と沈下量の関係。



(図-5) 汀線移動量と傾斜角の関係。